

**საქართველოს ტექნიკური უნივერსიტეტი  
ხელნაწერის უფლებით**

**სანდრო ქათამაძე**

**ლითონების წნევით დამუშავების ახალი სპეციალიზირებული  
პროცესების დამუშავება და კვლევა**

**დოქტორის აკადემიური ხარისხის მოსაპოვებლად  
წარდგენილი დისერტაციის**

**ავტორუფერატი**

**თბილისი  
2014 წ.**

სამუშაო შესრულებულია საქართველოს ტექნიკური უნივერსიტეტიში  
ქიმიური ტექნოლოგიისა და მეტალურიგიის ფაკულტეტი  
მასალათმცოდნეობისა და ლითინების დამუშავების დეპარტამენტში

ხელმძღვანელი: პროფ. ჯ. ლომსაძე

რეცენზენტები: -----  
-----

დაცვა შედგება ----- წლის ”-----“ -----, ----- საათზე  
საქართველოს ტექნიკური უნივერსიტეტის ქიმიური ტექნოლოგიისა და  
მეტალურგიის ფაკულტეტის სადისერტაციო საბჭოს კოლეგიის  
სხდომაზე, კორპუსი -----, აუდიტორია -----  
მისამართი: 0175, თბილისი, კოსტავას 77.

დისერტაციის გაცნობა შეიძლება სტუ-ს ბიბლიოთეკაში,  
ხოლო აგტორეფერატისა - ფაკულტეტის ვებგვერდზე

სადისერტაციო საბჭოს მდივანი -----

## ნაშრომის ზოგადი დახასიათება

თემის აქტუალობა. ცნობილია ლითონების წნევით დამუშავების ძირითადი ტექნოლოგიური პროცესები, რომლებიც კაცობრიობის ცივილიზაციის განვითარებასთან ერთად თანდათანობით იქმნებოდა. ეს პროცესებია: ჭედვა, შტამპვა, წნეხა, ადიდვა, გრძივი და განივი გლინვა. აღნიშნული ტექნოლოგიური პროცესებით წარმოებული პროდუქციის გარეშე შეუძლებელი იქნებოდა სარკინიგზო, საავტომობილო, საავიაციო და სამშენებლო ინდუსტრიების განვითარება (ამ პროდუქციის ქვეშ იგულისხმება – რელსები და სხვა ფასონური პროფილის ნაგლინი, უნაკერო მილები, ფოლადისა და ფერადი ლითონების ფურცლები, არმატურა და სხვ.).

XX საუკუნის დასაწყისიდან მსოფლიოს მოწინავე ქვეყნებში ჩნდება ლითონების წნევით დამუშავების ე.წ. სპეციალიზირებული პროცესები და შესაბამისი მოწყობილობები ესენია: ვალცვა, პერიოდული პროფილების გრძივი და განივი გლინვა, ხრახნული პროფილების გლინვა, განივ სოლური გლინვა, კბილათვლების კბილების შემოგლინვა ან დაწნეხით ფორმირება, მასიური ხასიათის ლითონური ნაკეთობების მიღების ავტომატური და როტორულ-კონვეიერული მოქმედების დანადგარები, ლითონის დასამუშავებელი რადიალურ-მოჭიმავი მანქანა, ელექტროდასმა, შტამპვა აფეთქების ენერგიის გამოყენებით და სხვა. მათი ძირითადი მიზანია სხვადასხვა ლითონური ნაკეთობების მისაღები ისეთი ნამზადების წარმოება რომელთა ფორმები და ზომები მიახლოებული იქნება მზა ნაკეთობების ფორმასთან და ზომებთან. ამით მინიმუმამდე შემცირდება ან სულ გამოირიცხება შემდგომი ჭრით დამუშავება. აგრეთვე ჩვეულებრივი ან ფასონური ნაგლინის მიღება რომლისგანაც მზა პროდუქციის მისაღებად მინიმალური გადასვლების რიცხვი იქნება საჭირო.

მოცემულ სადისერტაციო ნაშრომში დამუშავებული, თეორიულად გამოკვლეული და პრაქტიკულად შემოწმებული ლითონების წნევით დამუშავების ახალი სპეციალიზირებული პროცესები სწორედ ზემოთ ჩამოთვლილ მიზნებს ემსახურება, რაც ნაშრომის თემის აქტუალობაზე მეტყველებს.

## **მუცნიერული სიახლე**

\* დამუშავებულია კვადრატული კვეთის ნაგლინის მიღების ახალი ტექნოლოგიური პროცესი და მისი განხორციელების ხერხი, რომელიც ითვალისწინებს შედარებით დიდი კვეთის მქონე ნამზადის უწყვეტ ჩამოსხმას, მის შეხურებას გლინვის ტემპერატურამდე და მისგან რამოდენიმე მცირე კვეთის კვადრატული ნამზადების ერთდროულ გლინვას სპეციალურ კალიბრებში (საქამიანობის გამოგონებაზე №P5498,2012წ.).

\* დადგენილი იქნა დიაგონალური სიბრტყეებით დაკავშირებული კვადრატული პროფილების ერთდროული გლინვისას დეფორმაციის კერის გეომეტრიული და ძალური პარამეტრები.

\* გლინვის პროცესში აღძრული ხახუნის ჭარბი ძალების თეორიული ანგარიშის საფუძველზე დადგენილი იქნა მათი გამოყენების შესაძლებლობა გლინებიდან გამოსვლის პროცესში დიაგონალური სიბრტყეებით დაკავშირებული კვადრატების განცალკევებისათვის.

\* თეორიული კვლევის საფუძველზე მიღებულია მოძრავ თვალაკებში საკონტაქტო და ადიდვის ხვედრითი ძალების საანგარიშო ფორმულები.

\* დამუშავებული და რეალიზებული იქნა ლაბორატორიულ პირობებში ცილინდრული კბილათვლის კბილების პლასტიკური ფორმირების ახალი პროცესი (საქამიანობის № P5870,13.08.2013)

**ავტორის პირადი წელილი.** ავტორის მიერ უშუალოდ შესრულებული იქნა ნაშრომში მოცემული თეორიული ანგარიშები. მისი მონაწილეობით დაგეგმილი და დამზადებული იქნა ექსპერიმენტალური კვლევებისათვის საჭირო მატერიალურ-ტექნიკური აღჭურვილობა. ექსპერიმენტები ჩატარებულია საქართველოს ტექნიკური უნივერსიტეტის ლითონების წნევით დამუშავების ლაბორატორიაში

**ნაშრომის პრობაცია.** დისერტაციის ძირითადი შედეგები მოხსენებულია: 2010-2013 წლებში, ყოველწლიურ საქართველოს ტექნიკური უნივერსიტეტის სამუცნიერო-ტექნიკურ კონფერენციებზე.

**პუბლიკაციები.** დისერტაციის მასალები გამოქვეყნებულია სტატიური. მიღებულია ორი პატენტი გამოგონებაზე (№5497, 2013წ. და №5870 2013წ.).

**ნაშრომის სტრუქტურა და მოცულობა.** სადისერტაციო ნაშრომი შედგება შესავალისაგან, ოთხი თავისაგან, დასკვნებისა და გამოყენებული ლიტერატურისაგან. მასალა მოიცავს 123 გვერდს, მათშორის 9 ცხრილს, 40 ნახატსა და 70 დასახელების გამოყენებულ ლიტერატურას.

## ნაშრომის ძირითადი შინაარსი

**პირველ თავში** განხილულია ლითონების წნევით დამუშავების არსებული ძირითადი სპეციალიზირებული პროცესები, მათი დანიშნულება, დადებითი მხარეები და ნაკლი. უნდა აღინიშნოს რომ, სპეციალიზირებული პროცესების გაჩენა განპირობებული იყო მანქანათმშენებლობის სწრაფი განვითარებით და მასიური ხასიათის ლითონურ ნაკეთობებზე გაზრდილი მოთხოვნით. მოცემული პროცესები უზრუნველყოფენ ლითონურ ნაკეთობათა ხარისხის ამაღლებას, მწარმოებლობის ზრდას და ლითონის მნიშვნელოვან ეკონომიას.

ახალი სპეციალიზირებული პროცესების შექმნაში მნიშვნელოვანი წვლილი მიუძღვის ჩვენი უნივერსიტეტის ლითონების წნევით დამუშავების კათედრის პროფესორებს ჯემალ ლომსაძეს და მერაბ მიქაუტაძეს, რომლებმაც წლების განმავლობაში აღნიშნულ პროცესებს მიუძღვნეს მეტად მნიშვნელოვანი გამოგონებები.

დღეისათვის საქართველოში მრეწველობა თითქმის არ არსებობს, ამიტომ იგი ძირითადად მოხსმარებელია ლითონების წნევით დამუშავების როგორც ტრადიციული ისე არატრადიციული პროცესებით მიღებული პროდუქტისა.

სამწუხაროდ აღარც მეტალურგიული წარმოებაა თავის სიმაღლეზე. რუსთავის მეტალურგიული ქარხანა და კერძო საამქროები ძირითადად არმატურაზე მუშაობენ აღარ იგლინება ისეთი ფართო მოხსმარების პროდუქცია როგორიცაა გლინულა. აღნიშნული მდგომარეობის გათვალისწინებით ჩვენს მიერ დამუშავებული, გამოკვლეული რიგი სპეციალიზირებული პროცესები პრაქტიკულად ლაბორატორიულ პირობებში იქნა განხორციელებული, რომლებიც განხილულია დისერტაციის მომდევნო თავებში.

**მეორე თავი** ეძღვნება წვრილსორტული ლითონპროდუქციის გასაგლინ მცირე კვეთის კვადრატული ნამზადების გლინვის ორიგინალურ მეთოდს. დღეისათვის წვრილსორტული ლითონპროდუქციის გასაგლინად მეტალურგიული ქარხები იყენებენ 100X100 მმ კვეთის ნაგლინს ან უწყვეტი ჩამოსხმის ნამზადებს. მოცემული ნამზადებიდან მცირე კვეთის მზა პროდუქციის მიღება

მოითხოვს მრავალჯერად გადასვლებს და შესაბამისად მრავალ საგლინავ დგანებს.

წვრილსორტული ლითონპროდუქციის წარმოებისათვის კი მეტად მომგებიანია მცირე კვეთის (60X60მმ ან 50X50მმ)კვადრატული ნამზადების გამოყენება, რადგან ისინი მოითხოვენ მცირე გატარებათა რიცხვს და შესაბამისად ნაკლებ საგლინავ დგანებს.

ბლუმინგის და სანამზადე საამქროს გამოყენებით 100X100მმ კვეთის ნამზადების წარმოება საკმარისად ძვირი იყო. ბოლო წლებში იგი შეცვალა ფოლადის უწყვეტი ჩამოსხმის მანქანებით ჩამოსხმულმა ნამზადებმა. აქვე უნდა აღინიშნოს, რომ 100X100მმ და 80X80მმ-ზე უფრო ნაკლები კვეთის ნამზადების უწყვეტი ჩამოსხმა არაეკონომიურია ჩამოსხმის დაბალი სიჩქარის გამო.

აქედან გამომდინარე ჩვენს მიერ წამოყენებული, დამუშავებული, გამოკვლეული და ექსპერიმენტალურად განხორციელებული იქნა ლაბორატორიულ პირობებში მცირე კვეთის კვადრატული ნამზადების გლინგის ორიგინალური მეთოდი (საქპატენტი, გამოგონებაზე № 5498 2012წ.), რომელიც მდგომარეობს შემდეგში: ვინაიდან ფოლადის უწყვეტი ჩამოსხმის მანქანებზე მცირე კვეთის ნამზადების ჩამოსხმა არაუფაქტურია, დაბალი წარმადობის გამო (განსაკუთრებით დიდი ტონაჟის მანქანებზე თითქმის შეუძლებელია), ამიტომ ჩამოისხმება რამოდენიმე მცირე კვეთის კვადრატების ჯამურ ფართზე ორჯერ მეტი ფართის მქონე მართკუთხა ნამზადი (რაც ადვილად მიიღწევა), რომელიც ჩამოსხმის პროცესში იჭრება გარკვეული სიგრძის ნამზადებად და ცხელ მდგომარეობაში თანდათანობით ჩაიტვირთება მეთოდურ ღუმელში, რათა გახურდეს გლინგის ტემპერეტურამდე (1170-1200C<sup>0</sup>) გახურების შემდეგ სპეციალური კალიბრების მქონე დუო რეგერსულ დგანზე ერთდროულად (დაწყვილებულად) გაიგლინება რამოდენიმე მცირე კვეთის კვადრატული ნამზადები, რომლებიც ერთმანეთთან დიაგონალურ სიბრტყეში დაკავშირებული იქნებიან ლითონის თხელი ფენით. მათი განცალკევება მოხდება გლინებიდან გამოსვლისთანავე გლინგის პროცესში ალბრული ხახუნის ჭარბი ძალების გამოყენებით.

ნაშრომში დამუშავებულია სამი კვადრატული კვეთის (60X60მმ) ნამზადის დაწყვილებული გლინვის ტექნოლოგიური პროცესი.

პირველყოვლისა ჩატარებული იქნა ექსპერიმენტები ლაბორატორიულ დგან 150-ზე ტყვიის მართვულობის სხვადასხვა ზომის ნიმუშებზე, სამი კვადრატი 15X15მმ დაწყვილებულ გლინვაზე. ჩვენს მიზანს წარმოადგენდა დაგვედგინა მართვულობის კვეთის სხმულის საწყისი ზომების ოპტიმალური პარამეტრები (სიმაღლე –  $H_0$  და სიგანე  $B_0$ ), რომლებიც მინიმალური გატარებით უზრუნველყოფდა კალიბრების ნორმალურ შევსებას გვერდითი ფხაურის წარმოქმნის გარეშე.

ამ მიზნით ჩამოსხმული იქნა სხვადასხვა სიმაღლისა და სიგანის მქონე მართვულობის კვეთის ტყვიის სხმულები, ზომებით: სიმაღლე  $H_0=18, 20, 22, 24, 26$  მმ. ხოლო სიგანე:  $B_0=50, 55, 60, 65$  მმ.

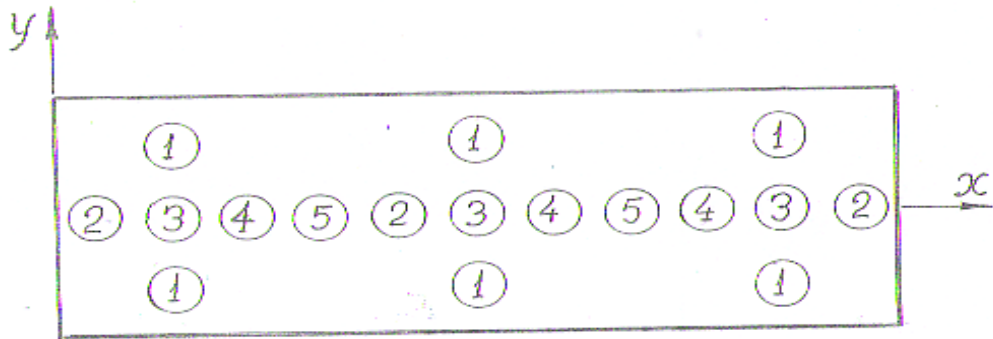
როგორც ექსპერიმენტებმა გვიჩვნა მართვულობა სხმულის ოპტიმალურ ზომებად შეიძლება მივიღოთ სიგანე  $B_0$ , სამი კვადრატის დიაგონალების ჯამზე 5-7%-ით ნაკლები, ხოლო სიმაღლე  $H_0$  კვადრატის დიაგონალზე 30-35%-ით მეტი. უფრო მეტი სიმაღლის შემთხვევაში საჭირო იქნება სიგანის უფრო მეტად შემცირება. ნამზადის სიმაღლის გაზრდა როგორც წესი გამოიწვევს გატარებათა რიცხვის ზრდას, რაც აგრეთვე არასასურველია.



ნახ.1. ლაბორატორიულ დგან 150-ზე გაგლინული ტყვიის ნიმუშების

ტექნიკურები სხვადასხვა გატარების დროს  
ა – ნამზადის არასწორი ზომებით გაგლინვისას  
ბ – ოპტიმალური ზომის ნამზადის გაგლინვისას

ჩვენს მიერ შესწავლილი იქნა აგრეთვე დაწყვილებული გლიცერინის პროცესში დეფორმაციის კერის დაძაბულ-დეფორმირებული მდგომარეობა, რისთვისაც ტყვიის მართვულობა კვეთის ნამზადის ტორსულ ზედაპირზე დავიტანეთ საკოორდინაციო ბადე (ნახ.2) წრეების სახით და ყოველი გატარებისას ვაკვირდებოდით (ინსტრუმენტალური მიკროსკოპით) ბადის ზომების ცვლილებას.



ნახ.2. ნამზადის ტორსულ ზედაპირზე დატანილი საკოორდინაციო სიბრტყე

ელემენტალური მოცულობები წარმოდგენილი იქნა სფეროების სახით, რომელთა რადიუსი იყო  $\tau_0 = 1,65\text{მმ}$ . დეფორმაციის შემდეგ ისინი გარდაიქმნებოდნენ ელიფსოიდებად. მთავარი დეფორმაციები ასე გამოითვლებოდა:

დიდი დერძის მიმართ:

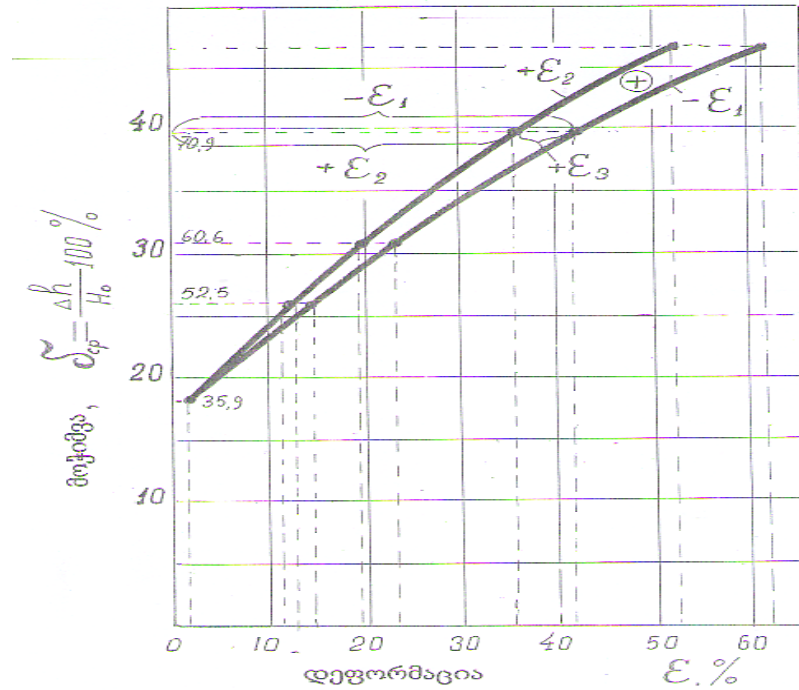
$$\varepsilon_1 = \ell n \frac{x}{\tau};$$

მცირე დერძის მიმართ:

$$\varepsilon_2 = \ell n \frac{y}{\tau},$$

ხოლო მოცულობის მუდმივობის პირობიდან  $\varepsilon_1 + \varepsilon_2 + \varepsilon_3 = 0$ , გამომდინარე განისაზღვრებოდა მესამე მთავარი დეფორმაცია  $- \varepsilon_3 = \varepsilon_1 + \varepsilon_2$ .

დეფორმაციის კერის ყველაზე მახასიათებელ უბნად ჩვენ ჩავთვალეთ №1 უბანი. მის ფორმაცვლილებებზე დამოკიდებულია მისაღები კვადრატების კუთხეების შევსება. ნახ.2-ზე მოცემულია აღნიშნული ელემენტალური მოცულობის დეფორმაციების ცვლილებების გრაფიკული სახე.



ნახ. 3. მოჭიმვის მიხედვით მოცემულ ელემენტზე მოქმედი მთავარი დეფორმაციების ცვლილებების გრაფიკული სქემა

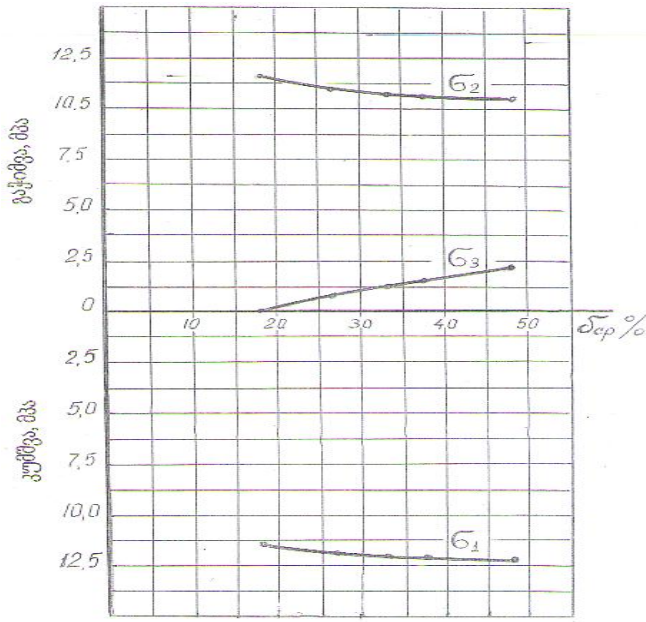
მოცემული დეფორმაციების მიხედვით ვიანგარიშეთ აგრეთვე ძაბვების სიდიდეები. ამ მიზნით გამოვიყენეთ გ.გენკის თეორია მთავარ კოორდინატთა სისტემაში, რომელიც ამყარებს დამოკიდებულებას მთავარი დეფორმაციის კომპონენტებსა და შესაბამის ძაბვებს შორის:

$$\left. \begin{aligned} (\mathfrak{E}_1 &= K\Delta + \frac{2}{3\varphi} \left[ \varepsilon_{xx} - \frac{\varepsilon_{yy} + \varepsilon_{zz}}{2} \right]) \\ (\mathfrak{E}_2 &= K\Delta + \frac{2}{3\varphi} \left[ \varepsilon_{yy} - \frac{\varepsilon_{xx} + \varepsilon_{zz}}{2} \right]) \\ (\mathfrak{E}_3 &= K\Delta + \frac{2}{3\varphi} \left[ \varepsilon_{zz} - \frac{\varepsilon_{xx} + \varepsilon_{yy}}{2} \right]) \end{aligned} \right\}$$

აგრეთვე პლასტიკურობის პირობა მთავარ კოორდინატთა სისტემაში:

$$(\mathfrak{E}_1 - \mathfrak{E}_2)^2 + (\mathfrak{E}_2 - \mathfrak{E}_3)^2 + (\mathfrak{E}_3 - \mathfrak{E}_1)^2 = 2\mathfrak{E}_s^2$$

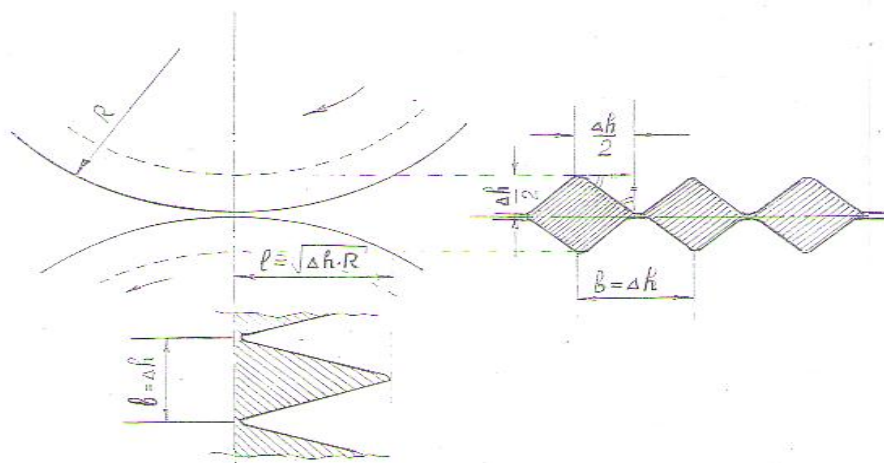
ნახ.3-ზე მოცემულია ელემენტზე მოქმედი ძაბვები მოჭიმვების მიხედვით.



ნახ. 4. მოცემულ ელემენტზე მოქმედი მთავარი ძაბვების ცვლილები მოჭიმვების მიხედვით

როგორც თეორიულ-ექსპერიმენტალურმა კვლევამ გვიჩვენა კვადრატების დაწყვილებული გლინგისას დეფორმაციის კერა იმყოფება ძვრასთან მიახლოებულ პირობებში, სადაც დეფორმაცია ადვილად მიმდინარეობს, თითქმის ნარჩენი დაძაბულობის გარეშე, მიუხედავად ნაგლინის სიგანის მიხედვით მოჭიმვათა დიდი სხვაობისა, საკმარისად დიდი განივი მკუმშავი ძაბვები აწონასწორებენ დეფორმაციის კერას და კალიბრები თავისუფლად ივსება.

ნაშრომში დამუშავებულია მართკუთხა კვეთის ( $240 \times 120 \text{ მმ}$ ) უწყვეტი ჩამოსხმის სხმულიდან სამი კვადრატული კვეთის ( $60 \times 60 \text{ მმ}$ ) ნამზადის დაწყვილებული გლინგის ტექნოლოგიური სქემა (ნახ.5)



ნახ. 5. დაწყვილებული კვადრატების გლიცისას საკონტაქტო ფართის გრაფიკული სქემა

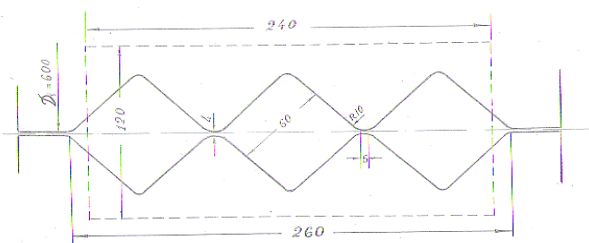
**საკონტაქტო ფართის განსაზღვრა.** დაწყვილებული გლიცის პროცესში საკონტაქტო ფართის განსაზღვრა აუცილებელია პროცესის ძალური პარამეტრების დასადგენად. გამოვიყენეთ გრაფიკული მეთოდი. ნახ.5 ჩანს, რომ თითოეული კვადრატული ნაგლინის საკონტაქტო ფართს აქვს ტოლგვერდა სამკუთხედის ფორმა, რომლის პარამეტრებია: სამკუთხედის სიმაღლე ტოლია დეფორმაციის კერის სიგრძის ბოლო გატარებისას ე.ი.

$$l = \sqrt{\Delta h \cdot R}$$

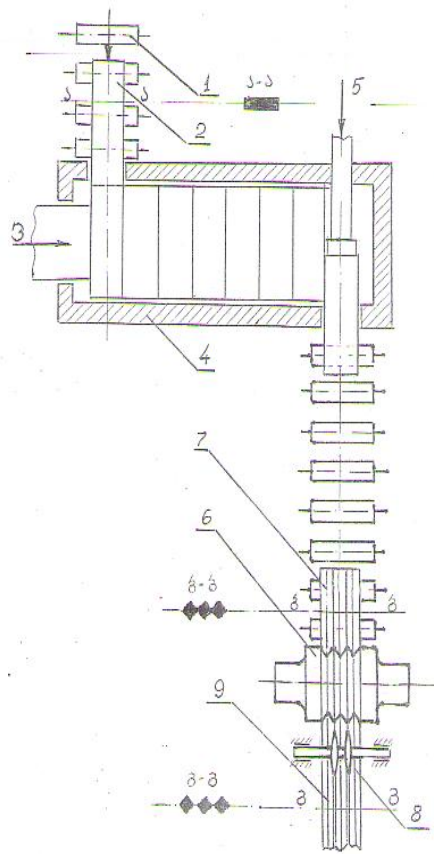
ხოლო, ფუძის სიდიდე ბოლო გატარებისას ტოლია კვადრატის დიაგონალის სიდიდის ე.ი.  $b = 1,41a$  (სადაც  $a$ -კვადრატის გვერდია). ამრიგად, საკონტაქტო ზედაპირის მთლიანი პორიზონტალური ფართი იქნება:

$$F = n0,5bl$$

სადაც  $n$  – კვადრატების რაოდენობაა.



ნახ. 6. გლინების კალიბრების  
სქემა 3 კვადრატული  
ნამზადის (60X60მმ)  
ერთდოროული  
გლინგისათვის  
უწყვეტი ჩამოსხმის  
სხმულიდან (240X120მმ)



ნახ. 7. კვადრატული  
ნამზადის (60X60მმ)  
დაწყვილებულებული  
გლინგისათვის  
მოწყობილობის  
განლაგების სქემა

### ცხრილი 1. მოჭიმვების განაწილება ცალკეული გატარებისას

გატარების №	გამოჭიმვის კოეფიციენტი	აბსოლუტური მოჭიმვა $\Delta h$ , მმ	ზოლის განივი კვეთის ფართი $\delta^2$	ნაგლინის სიგრძე L, მ
0	0	0	2880	1,5
1	1,03	20	27961	1,545
2	1,08	25	25890	1,668
3	1,16	25	22319	1,935
4	1,18	25	18914	2,284
5	1,75	20	10808	4,000

## ნაგლინის განცალკევება ხახუნის ჭარბი ძალების გამოყენებით

მოცემული კვადრატები ერთმანეთთან დაკავშირებული არიან დიაგონალურ სიბრტყეზე 3-4 მმ სისქის ხიდურებით. ბოლო მეხუთე გატარებისას, გლინებიდან გამოსული კვადრატების განცალკევება ხდება თავისუფლად მბრუნავ დისკური მაკრატლებით. ხიდურების ჭრა ხორციელდება თვით ნაგლინის ღერძული ძალით, რომელსაც ანიჭებს გლინვის დამყარებული რეჟიმის დროს გლინებსა და გასაგლინ ლითონს შორის აღძრული ხახუნის ძალების ჭარბი ენერგია.

ზოლის გლინებიდან გამოსვლის შემდეგ მას გააჩნია საკმარისი კინეტიკური ენერგია, რომ გაიჭრას გლინებსა და მჭრელ დისკებს შორის მოქცეული ზოლის ნაწილი.

დაწყვილებული სამი კვადრატული ნაგლინის აღნიშნული მეთოდის განცალკევების რეალური შესაძლებლობის დასამტკიცებლად ჩატარებული იქნა პროცესის ენერგეტიკული ანგარიში.

პირველ რიგში ვიანგარიშეთ მოცემულ გლინვის პროცესში დეფორმაციის კერაში ბოლო გატარებაზე აღძრული ხახუნის ჭარბი ძალების ენერგია. რისთვისაც ვისარგებლეთ ცნობილი ფორმულით.

$$N_{\frac{\alpha_1}{2}} = pBD\alpha_1 V(f - f_1) = pBD\alpha_1 V \left( \operatorname{tg} \alpha - \operatorname{tg} \frac{\alpha_1}{2} \right)$$

სადაც:  $p$  - ლითონის ხვედრითი წნევაა გლინებზე, რომელიც გლინვის ბოლო გატარების ტემპერატურისას აიღება  $15 \text{ კგ/მმ}^2$ ;

$B$  - გასაგლინი ზოლის სიგანე ბოლო გატარებისას, იგი ტოლია - 260 მმ;

$D$  - მუშა გლინების დიამეტრი, ტოლია - 600 მმ;

$\alpha_1$  - შეტაცების კუთხე გლინვის დამყარებული რეჟიმის დროს, რადიანებში, გლინვის დამთავრების ტემპერატურაზე  $900^\circ\text{C}$  და გლინვის მოცემულ სიჩქარისას  $v = 2,8 \text{ მ/წმ}$ , ხახუნის კოეფიციენტი გლინებსა და ლითონს შორის შეადგენს  $f_1 = 0,23$  (კ.ი.  $\operatorname{tg} \frac{\alpha_1}{2} = 0,23$ )

რასაც შეესაბამება კუთხე  $\alpha_1 = 0,453$  რადიანი;

$\alpha$  - შეტაცების კუთხე, რომელიც ტოლია  $\arct g f$ ; სადაც  $f$  - ხახუნის კოეფიციენტია გლინებსა და შეტაცებულ ზოლს შორის, იგი

განისაზღვრება ეკელუნდის ფორმულით და მოცემულ შემთხვევისათვის ტოლია 0,32( $\text{tg}\alpha=0,32$ ).

მოცემული სიდიდეების მნიშვნელობების ჩასმით, გლინგის ჭარბი ენერგიის საანგარიშო ფორმულაში მივიღებთ:

$$N_{\frac{\text{კ}}{\text{მ}}}=15 \cdot 260 \cdot 600 \cdot 0,453 \cdot 2,8 \cdot (0,32 - 0,23) = 267125 \text{ კგმ/წ}$$

რაც შეადგენს 2671 კვტ. ენერგიას.

ამის შემდეგ განგარიშობთ გლინებიდან გამოსული სამი კვადრატული ნაგლინის ურთიერთდამაკავშირებელი ორი ხიდურის გასაჭრელ ძალას და საჭირო ენერგიას, რომელიც უნდა დაძლიოს გლინებიდან გამოსულმა ლითონმა.

ჭრისათვის საჭირო ძალა მოცემულ პირობებში იანგარიშება ფორმულით:

$$P = k \cdot n \cdot 0,5 \frac{S^2}{\text{tg}\varphi} \mathfrak{S}_{\frac{\text{კ}}{\text{მ}}}$$

სადაც  $k$  - მარაგის კოეფიციენტი, აიღება 1,3

$n$  - ჭრის სიბრტყეთა რაოდენობა ( $n = 2$ )

$S$  - ხიდურის სისქე ( $S = 4\text{მმ}$ )

$\varphi$  - მჭრელი დისკის შეტაცების კუთხე ( $\varphi = 17^\circ$ )

$\mathfrak{S}_{\frac{\text{კ}}{\text{მ}}}$  - ლითონის ჭრისადმი წინააღმდეგობა ( $\mathfrak{S}_{\frac{\text{კ}}{\text{მ}}} = 10 \text{ კგ/მმ}^2$ )

ფორმულაში შემავალი სიდიდეების რიცხვითი მნიშვნელობების ჩასმით მივიღებთ, რომ ხიდურების გაჭრისათვის საჭიროა 694 კგ. ძალა. ამის მიხედვით ჩანს, რომ გლინებიდან გამოსულ ზოლის ჭარბ ენერგიას უწევს ჭრის ძალის პორიზონტალური მდგენელის გადალახვა, რომლის სიდიდეც იანგარიშება

$$P_x = P \text{tg}\varphi = 694 \cdot \text{tg}17^\circ = 2310 \text{ ნიუტონი}$$

აღნიშნული ძალის გადასალახავი სიმძლავრე ტოლია

$$N_x = P_x V = 2310 \cdot 2,8 = 2468 \text{ კვტ.}$$

აქ  $V$  - გლინგის სიჩქარეა, რომელიც გლინების დიამეტრისა (600მმ) და ბრუნვათა რიცხვისას (90ბრ/წ), ტოლია 2,8მ/წ.

როგორც ზემოთ მოცემული ანგარიშიდან ჩანს, გლინებიდან გამოსული ლითონის ენერგია (2671კვტ) გაცილებით აღემატება ხიდურების გაჭრისათვის საჭირო ენერგიას (6,5 კვტ).

ზოლის გლინებიდან გამოსვლის შემდეგ რჩება გასაჭრელი ზოლის გარკვეული სიგრძე, რომელიც ტოლია მანძილის, გლინების ღერძიდან დისკურ მაკრატელებამდე (დაახლოებით 0,5მ). ცხადია გლინებიდან გამოსვლის შემდეგ ზოლი კარგავს ხახუნის ჭარბი ძალებით აღმრულ ენერგიას და დარჩენილი გაუჭრელი ხიდურების გაჭრა მოხდება ზოლის კინეტიკური ენერგიის ხარჯზე, რომელსაც იგი იძენს გლინებიდან გამოსვლის შემდეგ და იანგარიშება:

$$W = \frac{mv^2}{2} = \frac{340(2,8)^2}{2} = 1333 \text{ კ}$$

მოცემულმა კინეტიკურმა ენერგიამ უნდა გადალახოს 0,5 მეტრ მანძილზე ხიდურების ჭრისათვის საჭირო მუშაობა, რომელიც ტოლია:

$$A = P_x \cdot L = 2310 \cdot 0,5 = 1155 \text{ კ}$$

ამრიგად მოყვანილი ენერგეტიკული ანგარიშები გვიჩვენებს, რომ გლინებიდან გამოსული ზოლის კინეტიკური ენერგია (1333 კ) აჭარბებს დარჩენილი ხიდურებისათვის გასაჭრელ ენერგიას (1155 კ), რაც გაგლინული კვადრატული ნამზადების განცალკევების გარანტიას იძლევა.

**მესამე თავი** ეძღვნება მოძრავ გორგოლაჭებიან მატრიცებში ადიდვის პროცესის თეორიულ კვლევას. უნდა ადინიშნოს, რომ გორგოლაჭებიან მატრიცებში ადიდვის პროცესი ნაკლებად არის შესწავლილი, მათი გამოყენება საშუალებას იძლევა ადიდვა ვაწარმოოთ დეფორმაციის მაღალი ხარისხით ე.ი. გავზარდოთ ერთჯერადი გამოჭიმვის კოეფიციენტი და მაშასადამე მინიმუმამდე დავიყვანოთ გატარებათა რიცხვი. კვლევის მიზანს წარმოადგენდა აღნიშნული პროცესის შესაძლო გამოყენება (Φ8-10მმ) წნელოვანი ნაგლინიდან ცივად ადიდვით გლინულას  $\Phi$  5,0-6,5მმ მისაღებად.

საქართველოში, კერძოდ რუსთავის მეტალურგიულ ქარხანაში, გლინულა 30 წელზე მეტია აღარ იწარმოება. მისი მიღების ტრადიციული ხერხი ითვალისწინებს წვრილსორტულ საამქროში ჯერ მრგვალი კვეთის წნელოვანი ნაგლინის (Φ8-10მმ) მიღებას და შემდეგ რამოდენიმე პორიზონტალურ და ვერტიკალურ გლინებიან მუშა უჯრებში მის უწყვეტ გლინვას ე.წ. უნივერსალურ ბლოკში. აღნიშნული პროცესი მოითხოვს რთულ საგლინავ მოწყობილობას, წამური

მოცულობის ზუსტ დაცვას, მაღალი სიჩქარით (30გ/წმ და მეტი) გლინგას და სპეციალურ გრძელ კონვეირულ სამაცივრო სისტემას, რაც დღეისათვის არ არსებობს, ამიტომ გადავწყვიტეთ ძვირადდირებული უნივერსალური ბლოკის ნაცვლად გლინულას მისაღებად გამოვიყენოთ ფ8-10მმ წნელოვანი ნაგლინის ცივად ადიდვა.

**ფ8-10მმ წნელოვანი ფოლადის ადიდვა უძრავ თვალაკებში** თითქმის შეუძლებელია მრავალი გადასვლისა და ადიდვის ძალის სიდიდის გამო, როგორც ცნობილია უძრავ თვალაკებში ადიდვის ძალას უხდება ორი წინააღმდეგობის გადალახვა: 1) ლითონის დეფორმაციისადმი წინააღმდეგობის და ხახუნის ძალების. ამ პირობებში საგმნობლად იზრდება ამდიდავი ძაბვის სიდიდე, რომელიც ადიდვის პროცესის ნორმალური წარმართვისათვის აუცილებელია 25%-ით ნაკლები იყოს ასადიდი ლითონის დენადობის ზღვარზე რათა ადგილი არ ქონდეს ლითონის გაწყვეტას.

თუ უძრავ რგოლურ მატრიცებში ამდიდავი ძალის საანგარიშოდ ვისარგებლებთ, ადიდვის პრაქტიკაში ფართოდ მიღებული ა. გაგრლენების ფორმულით

$$P = \sigma_{\text{ლ}} (f_0 - f_1)(1 + f \operatorname{ctg} \alpha)$$

სადაც  $P$  - ადიდვის ძალა, კგ;

$F_0$  და  $F_1$  დერძის საწყისი და საბოლოო კვეთის ფართი მმ<sup>2</sup>.

$\sigma_F$  - ლითონის სიმტკიცის ზღვარის საშუალო მნიშვნელობა ადიდვამდე და მის შემდეგ, კგ/ მმ<sup>2</sup>.

$f$  - ხახუნის კოეფიციენტი ლითონის და მატრიცის ზედაპირებს შორის.

$\alpha$  - ადიდვის კუთხე, გრად

გნახავთ, რომ უძრავ თვალაკებში ნორმალური ადიდვა შეიძლება გაწარმოოთ ერთეული გამოჭიმვით – 1,14 ამ შემთხვევაში ფ10მმ-დან ფ9,5მმ-ის მისაღებად საჭირო იქნება 7 გატარება, კვეთის ფართის შემცირების შემდეგი თანმიმდევრობით.

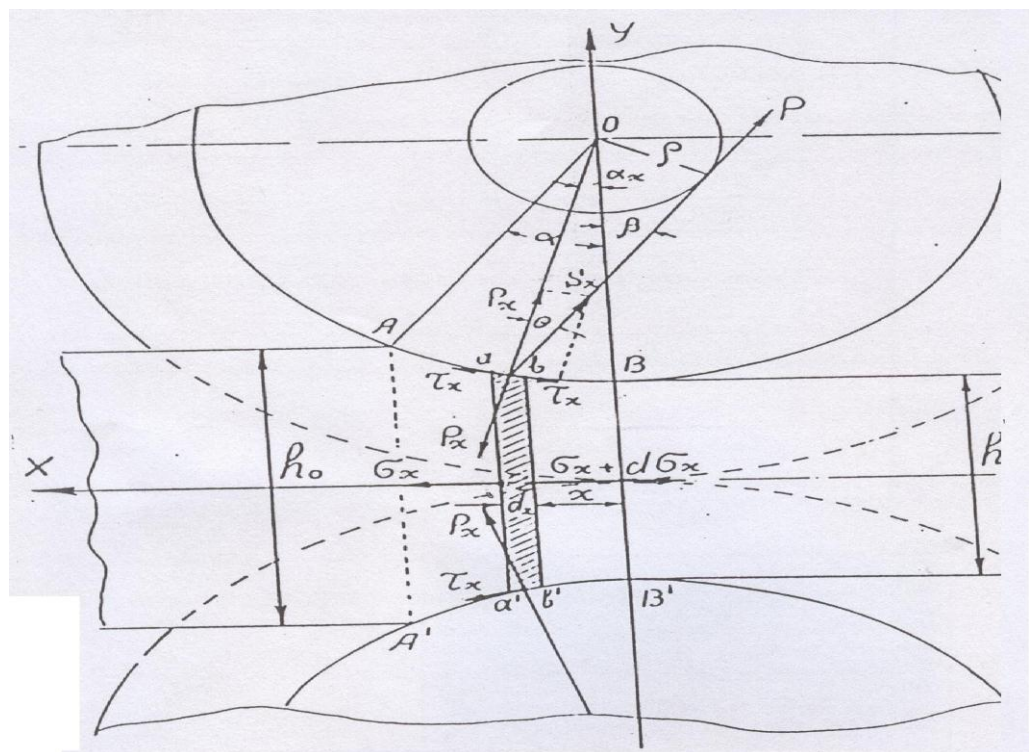
$$68,8 \rightarrow 60,4 \rightarrow 52,9 \rightarrow 46,5 \rightarrow 40,7 \rightarrow 35,7 \rightarrow 31,16$$

რაც ყოვლად მოუხერხებელია და არაეკონომიურია, ამიტომ დასახული მიზნის განსახორციელებლად ჩვენ გადავწყვიტეთ მოძრავ მატრიციანი ადიდვის პროცესის გამოყენება, სადაც სრიალის ხახუნის ნაცვლად საქმე გვაქვს გორგის ხახუნთან (გორგოლაჭების სატაცის

ბურთულა საკისრებში, რომლებშიც ხახუნის კოეფიციენტი უმნიშვნელოა ( $f = 0.05$ ). დეფორმაციის კერაში კი ხახუნის ძალები, გორგოლაჭების თავისუფალი ბრუნვის გამო ძალზე მცირეა, რაც მნიშვნელოვნად ამცირებს ინსტრუმენტის ცვეთას.

გორგოლაჭებიან მატრიცებში ადიდვის პროცესი ნაკლებად არის შესწავლილი, მათი გამოყენება საშუალებას იძლევა ადიდვა ვაწარმოოთ დეფორმაციის მაღალი ხარისხით ე.ი. გავზარდოთ ერთჯერადი გამოჭიმვის კოეფიციენტი და მაშასადამე, მინიმუმამდე დაგიყვანოთ გატარებათა რიცხვი.

გორგოლაჭებიან მატრიცებში ადიდვის ტექნოლოგიური პროცესის პარამეტრების დასადგენად (როგორებიცაა: დეფორმაციის ხარისხი მოცემულ გატარებისას, ადიდვისათვის საჭირო ძალა და გატარებათა მინიმალური რიცხვი) განვიხილოთ დეფორმაციის კერაში მოქმედ ძალთა წონასწორობის პირობა და განვსაზღვროთ საკონტაქტო და ადიდვის ხვედრითი ძალები.



ნახ.8 გორგოლაჭებიან მატრიცებში ადიდვისას დეფორმაციის კერაში მოქმედ ძალთა სქემა

დეფორმაციის კერაში მოქმედ ძალთა სქემის აღნიშვნებია:

$P_x$  - გორგოლაჭებზე მოქმედი ლითონის ნორმალური წნევა;

$T_x$  - დეფორმაციის კერის საკონტაქტო ზედაპირზე მოქმედი მხები ძაბვები;

$\sigma_x$  - ნამზადის განივევთში მოქმედი ნორმალური ძაბვა;

$S_x$  - სრული საკონტაქტო ძაბვა;

$\alpha_1 \alpha_x$  - შეტაცების კუთხე და მისი მიმდინარე მნიშვნელობა;

$h_0 h_1$  - ნამზადის საწყისი და საბოლოო სიმაღლე;

$P$  - ლითონის სრული წნევა გორგოლაჭებზე;

$p$  - ხახუნის წრის რადიუსი.

დეფორმაციის კერაში ნამზადის ელემენტის წონასწორობის პირობიდან გამომდინარე გვაქვს:

$$2P_x \frac{d_x}{\cos \alpha_x} \cdot \sin \alpha_x + 2\tau_x \frac{d_x}{\cos \alpha_x} \cos \alpha_x - \\ - (\sigma_x + d\sigma_x) \cdot 2y + \sigma_x \cdot 2(y + dy) = 0 \dots \dots$$

მოცემული განტოლება გამარტივების შემდეგ დებულობს შემდეგ სახეს:

$$P_x \cdot d_x \cdot \operatorname{tg} \alpha_x + \tau_x \cdot d_x - d\sigma_x \cdot y + \sigma_x \cdot dy = 0 \dots \dots$$

აღნიშნული განტოლების ამოხსნისათვის ვიყენებთ პლასტიკურობის პირობას, რომელიც ბრტყელდეფორმირებული მდგომარეობისათვის შემდეგია:

$$P_x - \sigma_x = \pm 2k$$

სადაც  $k$  - დენადობის ზღვარია სუფთა ძვრის დროს ვდებულობთ

$$P_x - \delta_x = -2k$$

$$\text{საიდანაც } dP_x = d\delta_x$$

პლასტიკურობის პირობის გათვალისწინებით და მხედველობაში მიღებით, რომ

$$d_x = \frac{dy}{\operatorname{tg} \alpha'}$$

ვდებულობთ

$$P_x \cdot dy + \tau_x \frac{dy}{\operatorname{tg} \alpha_x} - dP_x \cdot y + (P_x + 2K) \cdot dy = 0 \dots \dots$$

ამ უკანასკნელი განტოლებიდან ვდებულობთ გორგოლაჭებიან მატრიცებში ადიდვისას ხვედრითი წნევის დიფერენციალურ განტოლებას:

$$dP_x \cdot y - 2P_x \cdot dy + \left( 2K + \frac{\tau_x}{\operatorname{tg} \alpha_x} \right) \cdot dy = 0 \dots \dots \dots$$

მოცემული განტოლების ამოხსნა დამოკიდებულია საკონტაქტო ზედაპირზე ხახუნის ძალების განაწილების კანონზე. თუ მივიღებთ ხახუნის ძალების განაწილებას კულონ-ამონტონის კანონის შესაბამისად

$$\tau_x = \mu P_x$$

მაშინ გვექნება:

$$\frac{dP_x}{\left[ \left( 2 + \frac{\mu}{\operatorname{tg} \alpha_x} \right) P_x + 2K \right]} = dy \dots \dots \dots$$

*AB* კონტაქტის რკალის შეცვლით შესაბამისი ქორდით გვექნება:

$$\operatorname{tg} \alpha_x \cong \operatorname{tg} \frac{\alpha}{2} = \frac{\Delta h}{2\ell}$$

სადაც:  $\Delta h$  - ნამზადის აბსოლიტური მოჭიმვა;

$\ell$  - შეტაცების რკალის სიგრძე.

ავღნიშნოთ:

$$\left( 2 + \frac{\mu}{\operatorname{tg} \alpha_x} \right) = m$$

მაშინ განტოლება მიიღებს სახეს:

$$\frac{dP_x}{mP_x + 2K} = \frac{dy}{y}$$

მოცემული დიფერენციალური განტოლების გაინტეგრალებით ვდებულობთ

$$mP_x + 2K = Cy^m \dots$$

ინტეგრირების მუდმივას  $C$ , ვსაზღვრავთ სასაზღვრო პირობიდან, როცა:  $x = \ell; \sigma_x = 0; P_x = -2K$ , მაშინ:

$$C = \frac{2K(1-m)}{\left( \frac{h_0}{2} \right)^m}$$

ამ უკანასკნელის მხედველობაში მიღებით, გდებულობთ შეტაცების რკალის გასწვრივ ხვედრითი წნევის განაწილების განტოლებას:

$$P_x = \frac{2K}{m} \left[ 1 + (m-1) \left( \frac{2y}{h_0} \right)^m \right]$$

თუ შევიტანო ხვედრითი წნევის მოცემულ მნიშვნელობას პლასტიკურობის პირობაში მივიღებთ გორგოლაჭებიან მატრიცებში ღერძული ძაბვის (ადიდვის ძაბვის) განმსაზღვრელ ფორმულას:

$$\sigma_x = \frac{2K}{m} (1-m) \left[ 1 - \left( \frac{2y}{h_0} \right)^m \right]$$

გამოსახულებების ანალიზი გვიჩვენებს, რომ ინსტრუმენტზე ხვედრითი წნევა და ღერძული ძაბვა (ადიდვის ძაბვა) დამოკიდებულია ლითონის მექანიკურ თვისებებზე, დეფორმაციის კერის გეომეტრიულ პარამეტრებზე და ლითონისა და ინსტრუმენტს შორის ხახუნის პირობებზე. ზემოთმოყვანილი ანალიზური ფორმულები შეიძლება გამოყენებული იქნეს გორგოლაჭებიან მატრიცებში ადიდვის პროცესის ენერგოძალური და ტექნოლოგიური რეჟიმის დასადგენად.

გორგოლაჭებიან მატრიცებში 10მმ დიამეტრის მქონე წნელოვან ნაგლინიდან  $\phi 6,5\text{მმ}$  გლინულას მისაღები მაქსიმალური შესაძლო გამოჭიმვის კოეფიციენტის სიდიდის დასადგენად, ვისარგებლეთ ზემოთმოყვანილი საკონტაქტო ხვედრითი წნევის და ადიდვის ძაბვის საანგარიშო ფორმულების კონპიუტერული გამოთვლებით.

ვინაიდან მრგვალი კვეთის ნამზადის გორგოლაჭებიან მატრიცებში ადიდვისას საქმე გვაქვს კვეთის არათანაბარ მოჭიმვებთან ამიტომ დეფორმაციის კერის პარამეტრების დასადგენად გამოვიყენეთ საშუალო მნიშვნელობები, კერძოდ: საწყისი ნამზადის საშუალო სიმაღლე ( $H_{1\text{ს.}}\text{მ}$ ) იქნება მისი კვეთის ფართი ( $F_0$ ) შეფარდებული კალიბრის სიგანესთან (b).

აღნიშნულის გათვალისწინებით ფორმულებში შემავალი სიდიდეები გამოითვლება:

$$m = \left( 2 + \frac{\mu}{tg \frac{\alpha}{2}} \right)$$

$$\alpha = \text{arc} \cdot \cos \left( 1 - \frac{\Delta h}{2R} \right)$$

$$\Delta h = \frac{F_0}{b} \left( 1 - \frac{1}{\lambda} \right)$$

$$y = \frac{h_1}{2}$$

$$h_o = \frac{F_0}{b}$$

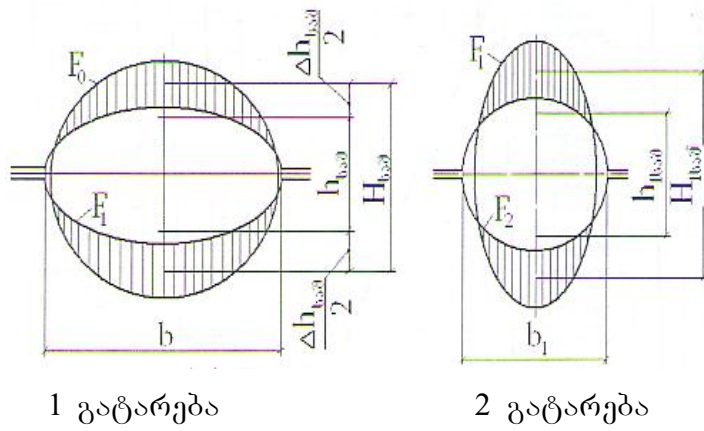
$$h_1 = \frac{F_0}{\lambda b}$$

$$K = \frac{\sigma_{\text{eq}} \cdot \sqrt{3}}{2}$$

გამოთვლები ჩატარებული იქნა გამოჭიმვის კოეფიციენტის ( $\lambda$ ) და საკონტაქტო ხახუნის ( $f$ ) სხვადასხვა მნიშვნელობებისათვის.

კომპიუტერული გამოთვლებისათვის მომზადებული იქნა ძირითადი ტექნოლოგიური პარამეტრების რიცხვითი მნიშვნელობები.

პირველი გატარება	მეორე გატარება
$b = 10,0 \text{ მმ}$	$b = 6,5 \text{ მმ}$
$F_0 = 78,5 \text{ ნН}$	$F_0 = 78,5 / \lambda \text{ ნН}^2$
$R = 100 \text{ მმ}$	$R = 100 \text{ მმ}$
$\delta_s = 10 \text{ ძვ/ მმ}^2$	$\delta_s = 10 \text{ ძვ/ მმ}^2$
$\lambda = 1,1 \div 2,0 \text{ ძოვი 0,1}$	$\lambda = 1,1 \div 2,0 \text{ ძოვი 0,1}$
$f = 0,0; 0,1; 0,2$	$f = 0,0; 0,1; 0,2$



ნახ. 9. მოჭიმვების განაწილება მრგვალი ნამზადის მოძრავ  
მატრიცებში ადიდვისას

**პროგრამაში გამოყენებული ოპერატორების მოკლე აღჭრა**

*b* - კალიბრის სიგანე;

*λ* - გამოჭიმვის კოეფიციენტი;

*f* - ხახუნის კოეფიციენტი;

*R* - გორგოლაჭის რადიუსი;

$\sigma_s$  - დენადობის ზღვარი;

*K* - დენადობის ზღვარი ხაზობრივი გამოჭიმვის დროს;

*F<sub>0</sub>* - ნამზადის საწყისი ფართობი;

*α* - შეტაცების კუთხე;

*P<sub>x</sub>* - ხვედრითი წნევა გორგოლაჭზე;

$\sigma_x$  - ადიდვის ძაბვა;

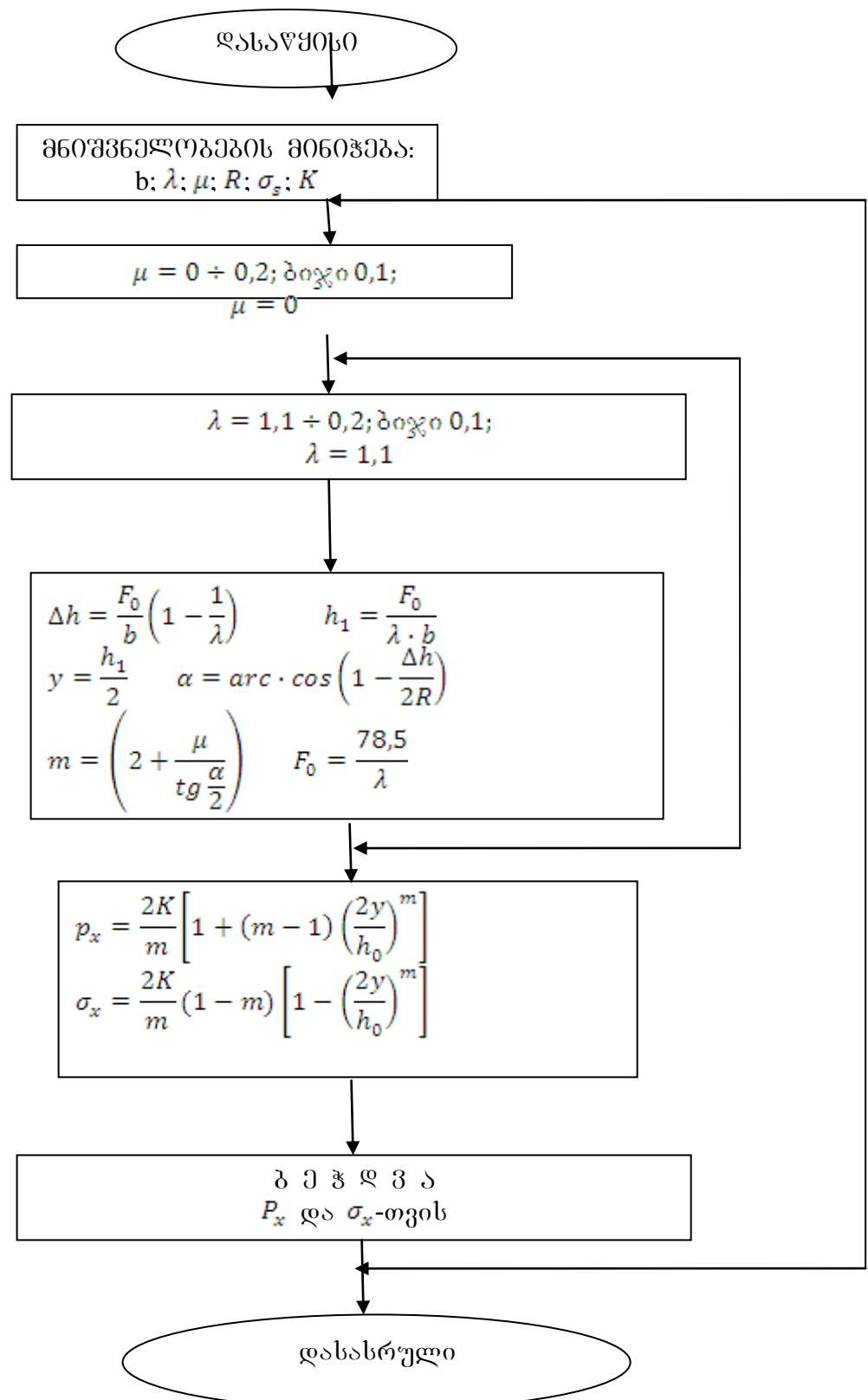
For - ციკლის ოპერატორი;

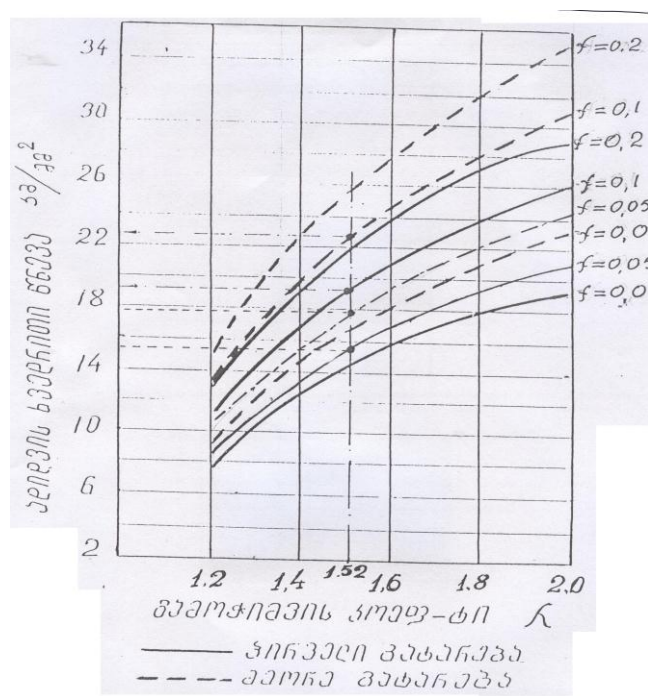
Begin - გადასვლის ოპერატორი;

Writeln - შევვანის ოპერატორი;

End - დამთავრების ოპერატორი.

ამოცანის ალგორითმი და მისი პლასტება





ნახ. 10. ადიდვის ხვედრითი წნევის დამოკიდებულება  
გამოჭიმვის კოეფიციენტზე ხახუნის სხვადასხვა  
კოეფიციენტის პირობებში

ქვემოთ მოცემულია პროგრმაში გამოყენებული ოპერატორების მოკლე აღწერა, ამოცანის ალგორითმი და მისი ბლოქსქემა გამოთვლის შედეგები მოცემულია ჯამური დიაგრამის სახით (ნახ.10), სადაც მოცემულია ადიდვის ხვედრითი წნევის (ხვედრითი ძაბვის) დამოკიდებულება მოჭიმვის და ხახუნის კოეფიციენტზე, როგორც პირველ ისე მეორე გატარებისას. მოცემული დიაგრამიდან ნათლად ჩანს, რომ ადიდვის ხვედრითი ძალა ანუ ადიდვის ძაბვა, გამოჭიმვის კოეფიციენტის შედარებით მაღალი მნიშვნელობების ( $\lambda = 1,2 - 2,0$ ) პირობებში საკმარისად მცირეა მოცემული ასადიდი მასალის დენადობის ზღვართან შედარებით, რაც ერთჯერადი ადიდვისას დეფორმაციის ხარისხის გაზრდის საშუალებას იძლევა. ადიდვის ძაბვა მით უფრო ნაკლებია, რაც მცირეა საკონტაქტო ხახუნის კოეფიციენტი. აქვე უნდა ადინიშნოს, რომ გორგოლაჭებიან მატრიცებში ადიდვისას, ხახუნის წინააღმდეგობების ძალები განპირობებულია ლითონის ჩამორჩენით დეფორმაციის კერაში და თავისუფლად მბრუნავ გორგოლაჭების სატაცების ბურთულა საკისრების ხახუნის

წინააღმდეგობით, რაც საკმარისად მცირეა, ვინაიდან მათში ხახუნის კოეფიციენტი არ აღემატება 0,05-ს. ჩვენ შემთხვევაში კი თუ საცხსაც გამოვიყენებთ ხახუნის წინააღმდეგობების ძალების მნიშვნელობა თითქმის ნულს მიუახლოვდება, რაც კიდევ უფრო ამცირებს ადიდვის ძაბვის მნიშვნელობას.

ჩვენს მიერ თეორიული კვლევის საფუძველზე  $\Phi 10\text{მმ}$  წნელოვან ნაგლინიდან  $\Phi 6,5\text{მმ}$  გლინულას მიღება ჯამური გამოჭიმვით

$$\lambda_{\text{შ}} = \frac{F_{10}}{F_{0,5}} = \frac{75,5}{33,16} = 2,3$$

სავსებით შესაძლებელია ორი დამოუკიდებელი ერთჯერადი გატარებით, თუ თითოეული გატარებისას ავიღებთ გამოჭიმვის კოეფიციენტს-1,52. ვინაიდან

$$\lambda_{\text{შ}} = \lambda_1 \cdot \lambda_2 = 1,52 \cdot 1,52 = 2,3$$

როგორც წესი გლინულას ამზადებენ დაბალნახშირბადიანი ფოლადებისაგან, რომელთა დენადობის ზღვარი არ აღემატება  $30\text{კგ}/\text{მმ}^2$ . თანახმად დიაგრამისა (ნახ.9) გამოჭიმვის კოეფიციენტი  $\lambda=1,52$  მიხედვით ადგილად დავადგენთ ამდიდავი ძაბვის სიდიდეს როგორც პირველ ისე მეორე გატარებისას და შესაბამისად ადიდვის უწყვეტობის შენარჩუნებისათვის მიღებულ მარგის კოეფიციენტებს

$$K = \frac{\sigma_{\text{სრ}}}{\sigma_{\text{რ}}} \leq 0,75$$

გორგოლაჭებიან მატრიცებში მიღებული ხახუნის კოეფიციენტის ორი მნიშვნელობისათვის  $f = 0,06$  და 0,1

გატარება	$f_1 = 0,05$		$f_2 = 0,1$	
	$\sigma_{\text{სრ}} \frac{\partial \delta}{\partial \theta} / \theta^2$	$K = \frac{\sigma_{\text{სრ}}}{\sigma_{\text{რ}}} \leq 0,75$	$\sigma_{\text{სრ}} \frac{\partial \delta}{\partial \theta} / \theta^2$	$K = \frac{\sigma_{\text{სრ}}}{\sigma_{\text{რ}}} \leq 0,75$
I	$\sigma_{\text{სრ}}' = 15,3$	$K = \frac{15,3}{30} \leq 0,51$	$\sigma_{\text{სრ}}' = 19,2$	$K = \frac{19,2}{30} = 0,64$
II	$\sigma_{\text{სრ}}'' = 17,8$	$K = \frac{17,8}{35} \leq 0,50$	$\sigma_{\text{სრ}}'' = 22,8$	$K = \frac{22,8}{35} = 0,65$

სადაც  $\sigma_{\text{სრ}}'$  და  $\sigma_{\text{სრ}}''$  მასალის დენადობის ზღვარია, პირველ და მეორე გატარებისას (მეორე გატარებისას მხედველობაშია მიღებული განმტკიცება).

უნდა აღინიშნოს, რომ მიუხედავად გორგოლაჭებიან მატრიცებში ადიდვის ასეთი დიდი უპირატესობის, მისი გამოყენება მცირე დიამეტრის მქონე მავთულებისათვის მიზანშეწონილი არ არის, ვინაიდან იგი მოითხოვს ყოველი გატარების წინ დეროს 90<sup>0</sup>-ით შემობრუნებას და ამავე დროს იდეალური წრიული განივი კვეთის მიღება შეუძლებელია, ე.ი. ნაკლები სიზუსტით ხასიათდება. ამიტომ მათი გამოყენება მიზანშეწონილია მხოლოდ დიდი კვეთის ნაგლინის ცივად ან ცხლად ადიდვისთვის. სამწუხაროდ გორგოლაჭებიან მატრიცებში ადიდვის პროცესი ნაკლებად შესწავლილია და მისი ფართო გამოყენება ამჟამად შეზღუდულია.

რაც შეეხება გლინულებიდან (დიამეტრით: 6,3+6,7მმ) ზუსტი ზომების წვრილი მავთულების მიღებას, იგი გაცილებით უპრიანია ვაწარმოოთ უძრავ ოვალაკებში, სადაც გამოყენებული იქნება სპეციალური საცხი მასალები, ხახუნის კოეფიციენტის და შესაბამისად ამდიდავი ძალების შესამცირებლად. გლინულას წარმოების რეკომენდირებული ხერხი ცხადია არატრადიციულია და არამასიური მიღების საშუალებაა, მაგრამ გლინულა ერთ-ერთი ყველაზე ფართო მოხმარების საგანია, რომელიც აგრეთვე წარმოადგენს ნამზადს სხვადასხვა დიამეტრის მავთულის მისაღებად, რომლისგანაც მზადდება ლურსმნები, ლითონის ბადეები და მრავალი სხვა ლითონური ნაწარმი.

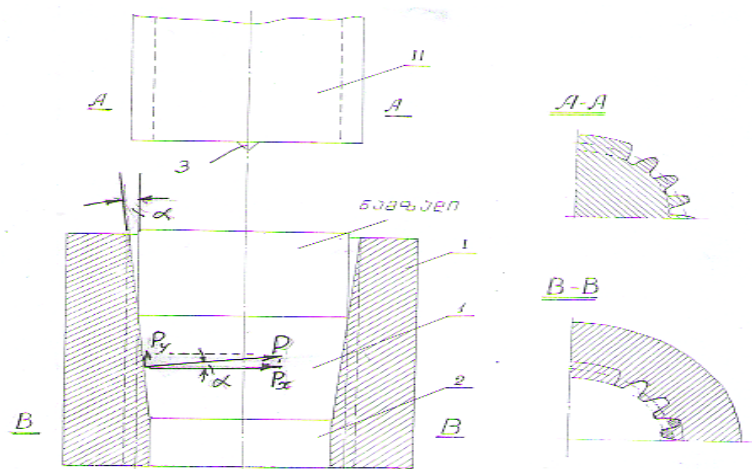
**მეოთხე თავში** განხილულია კბილათვლების კბილანების პლასტიკური დამუშავებით ფორმირების ახალი ხერხი, როგორც ცნობილია მანქანათმშენებლობაში დიდი რაოდენობით გამოიყენება კბილათვლები, რომელთა დამზადება მექანიკური (ანუ ჭრით) დამუშავების მეთოდით ძალზე შრომატევადია და თანაც ლითონის დიდ დანაკარგებთანაა დაკავშირებული.

კბილა თვლების კბილების პლასტიკური ფორმირებისას, გარდა ლითონის მნიშვნელოვანი ეკონომიკისა, კბილების ზედაპირული ფენის დაფორმაციული განმტკიცებისა და ლითონის სტრუქტურის ბოჭკოვანი აღნაგობის გამო, ჭრით დამზადებულ დეტალებთან შედარებით, მათ თითქმის 2-ჯერ მეტი აქვთ კბილების ციკლური სიმტკიცე. პლასტიკური დამუშავებისას ლითონის ეკონომიკა 15-30%-ია, პროცესის

შრომატევადობა – 2-ჯერ ნაკლები და სიმტკიცე ლუნგაზე 20-24%-ით მეტი.

ჩვენს მიერ შემოთავაზებულია კბილანების პლასტიკური დამუშავებით ფორმირების ხერხი, რომლის განსახორციელებელი ინსტრუმენტის სქემა მოცემულია ნახ. 11-ზე. ინსტრუმენტი შეიცავს მატრიცას I და პუანსონს II. მატრიცას გააჩნია კონუსური 1 და მაკალიბრუებული 2 უბანი, შვერილებით და ღრმულებით. კონუსურ უბანში აღნიშნული შვერილების და ღრმულების სიდიდეები ცვლადია და თანდათანობით მატულობს და უახლოვდება მაკალიბრუებული უბნის ზომებს. პუანსონს გააჩნია ერთი და იგივე სიმაღლის შვერილები და ღრმულები, რომელიც ტოლია მისაღები კბილანის პროფილისა ე.ი. მაკალიბრუებული უბნის მსგავსი. პუანსონს ქვედა ტორსულ ზედაპირზე აქვს მაცენტრუებული შვერილი – 3.

ლაბორატორიული კვლევების ჩასატარებლად ჩვენს მიერ დამზადებული იქნა ლითონში, აღნიშნული ინსტრუმენტის მოდელი (ნახ. 12), ტყვიის შაიბის მაგვარი ნამზადებისაგან ცილინდრული კბილანების მისაღებად, რომელიც ითვალისწინებდა შემდეგი ზომების (პარამეტრების) ტყვიის კბილანის მიღებას:



ნახ. 11. კბილა პროფილის მისაღები ინსტრუმენტის სქემა:

I - მატრიცა; II - პუანსონი;

1. მატრიცის კონუსური უბანი; 2. მატრიცის მაკალიბრუებული უბანი; 3. მაცენტრუებული.
- A-A - პუანსონის განივი ჭრილი; B-B - მატრიცის განივი ჭრილი.

შიგა დიამეტრი -----  $\Phi 54\text{მმ}$ ;

გარე დიამეტრი -----  $\Phi 66\text{მმ}$ ;

ნეიტრალური დიამეტრი -----  $\Phi 60\text{მმ}$ ;

კბილობა რიცხვი -----  $Z = 20$ ;

$$\text{მოდული } m = \frac{60}{20} = 3\text{მმ.}$$

როგორც ავღნიშნეთ ექსპერიმენტი ჩატარებული იქნა ტყვიის შაიბისმაგვარ ცილინდრული ფორმის ნიმუშებზე. მათი დიამეტრი იცვლებოდა ზღვრებში  $D_{\text{ცა}} = 60 + 60\text{მმ}$ , ხოლო სიმაღლე  $H_{\text{ცა}} = 20\text{მმ}$ . მოწყობილობიდან გამოყენებული იქნა ძირითადად ხრახნული ხელის წერტილი და აგრეთვე მცირე სიმძლავრის პიდრავლიკური წერტილი.

კბილა ნაწარმის მიღება ხდება შემდეგნაირად; ნამზადის დიამეტრს ვიღებთ კბილანის ნეიტრალური (საშუალო) დიამეტრის სიდიდის ტოლს. ექსპერიმენტების ჩატარებამდე თეორიულად ვთვლიდით, რომ კბილანის ჩამოყალიბებისას დრმულიდან გამოსულ ლითონს მთლიანად უნდა შეევსო კბილის ზედა (თავი) ნაწილი (ნახ. 12) ე.ო.

$$F_1 b = F_2 b$$

$$\text{სადაც } F_1 = F_2$$

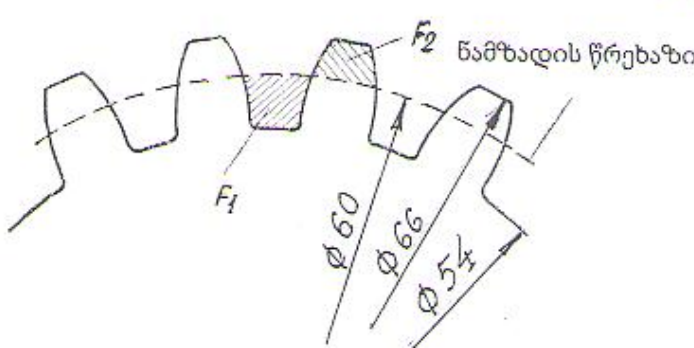
სადაც  $F_1$  – კბილანის დრმულის კვეთის ფართია ნამზადის დიამეტრამდე;

$F_2$  – კბილანის თავის კვეთის ფართია ნამზადის დიამეტრის ზემოთ.

$b$  – კბილის სიგანე.

ეს მიღგომა ითვალისწინებდა თეორიულ მსჯელობას, როცა კბილების ჩამოყალიბებისას ლითონი მხოლოდ რადიალურ მიმართულებით გადაადგილდებოდა. სინამდვილეში დეფორმირებული ლითონის ნაწილი გადადგილდება აგრეთვე დერძული მიმართულებით, რაც არასასურველია. იმიტომ რომ დერძული მიმართულებით გადაადგილებული ლითონი მონაწილეობას არ დებულობს კბილების ფორმირებაში და კბილები რჩება შეუვსებელი. ანალოგიურ მოვლენას აქვს ადგილი, როგორც ჩვენს შემთხვევაში ასევე კბილანების გლიცინის

დროს, ამიტომაა, რომ გლინვისას კბილანის ნამზადი ოდნავ მეტი აიღება ვიდრე კბილანის საშუალო დიამეტრია.



შიგა დიამეტრი -  $\Phi 54\text{მმ}$   
გარე დიამეტრი -  $\Phi 66\text{მმ}$   
ნეიტრალური დიამეტრი -  $\Phi 60\text{მმ}$   
კბილა რიცხვი  $Z=20$   
მოდული  $m = \frac{60}{20} = 3$  მმ

ნახ. 12. კბილის შევსების სქემა

ექსპერიმენტებმა აჩვენა, რომ როდესაც ავიღეთ კბილანის ნამზადი, მისაღები კბილანის საშუალო დიამეტრის ტოლი კბილები ბოლომდე არ შეივსო, ვინაიდან ნაწილი ლითონისა რადიალური მიმართულების ნაცვლად გადაადგილდა კბილების გრძივი მიმართულებით, რის შედეგადაც გაიზარდა კბილანის სიგანე. ამიტომ იძულებული ვიყავით ოდნავ გაგვეზარდა საწყისი ნამზადის დიამეტრი ე.ო. ავიღეთ კბილანის საშუალო დიამეტრზე 10%-ით მეტი. რამაც კარგი შედეგები მოგვცა. მიღებული კბილანის ფოტოსურათი მოცემულია ნახ. 13 ბ-ზე.

ჩვენს მიერ დამუშავებული ხერხი გარეგნულად წააგავს კბილანების გამოწეხით მიღებულ ხერხს, მაგრამ იგი არსებითად განსხვავდება ლითონის დაძაბულ-დეფორმირებული მდგომარეობით. რაც განაპირობებს კბილების ფორმირებისათვის საჭირო მინიმალურ ძალას.

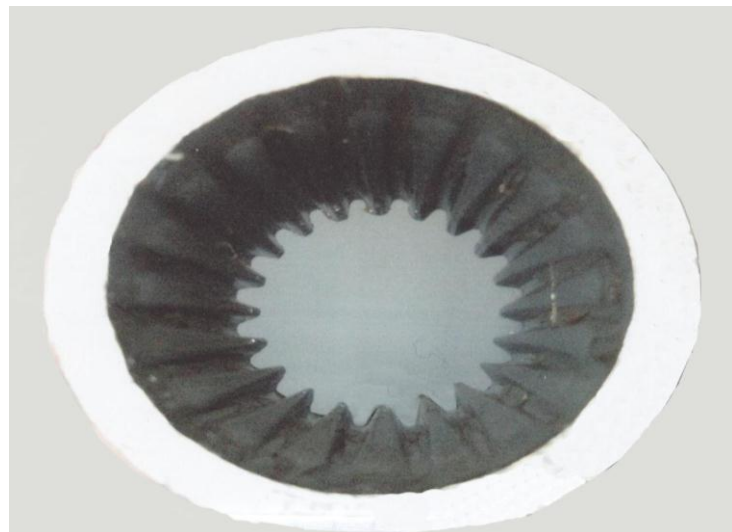
რედუცირებისას ან გამოწეხისას ნამზადის განივი კვეთის ფართი მნიშვნელოვნად აღემატება მისაღები პროდუქციის განივი კვეთის ფართს, რაც მოითხოვს მატრიცაში მყოფი მთელი ლითონის გადაყვანას პლასტიკურ მდგომარეობაში და მის იძულებით

გამოდინებას. ეს კი შეუძლებელია კბილა მატრიცის მიმღებ უბანში ლითონის ყოველმხრივ მკუმშავი დაძაბულობის სქემის გარეშე, რომელიც ახლოსაა თანაბარ დაძაბულობის სქემასთან, რომლის დროსაც მთავარ ძაბვათა სხვაობა მინიმალურია. ცხადია ძაბვათა აღნიშნული სქემის დროს მთავარი ძაბვები უნდა იყოს საკმაოდ მაღალი, რომ მათმა სხვაობამ დააკმაყოფილოს ზღვრული მდგომარეობის პირობა.

$$\frac{(\sigma_1 - \sigma_2)^2}{2} + \frac{(\sigma_2 - \sigma_3)^2}{2} + \frac{(\sigma_3 + \sigma_1)^2}{2} = K^2$$

სადაც:  $\sigma_1, \sigma_2, \sigma_3$  – მთავარი ძაბვებია

$K$  – მოცემული ლითონის პლასტიკურობის მუდმივა



ნახ. 13. კბილა პროფილის მისაღები ინსტრუმენტი

ამის გამო მთავარი ძაბვები და მასთან ერთად საშუალო კუთრი წნევაც საკმარისად მაღალი უნდა იყოს, რაც მოითხოვს ასევე დიდ მაღეფორმირებელ ძალებს.

ჩვენს მიერ დამუშავებული მეთოდის შემთხვევაში კბილანის ნამზადისა და მისაღები კბილანის განივი კვეთის ფართები თითქმის ერთმანეთის ტოლია და კბილების ფორმირება წარმოებს ძირითადად ნამზადის პერიფერიული ზონის პლასტიკური დეფორმაციით და ისიც თანდათანობით. ამიტომ კბილანამზადის მთლიანად გადაყვანა პლასტიკურ მდგომარეობაში საჭირო არ არის. კბილანის ფორმირებისათვის საჭირო ძალა განისაზღვრება ცალკეული კბილის ფორმირებისათვის საჭირო ძალების ჯამით. ცალკეული კბილის სექტორის ფორმირება ნამზადის რადიალური მიმართულებით შეიძლება განვიხილოთ, როგორც თანდათანობითი შტამპების პროცესი, რომლის დროსაც საშუალო კუთრი წნევა უნდა იყოს მოცემული ლითონის გასამკეცებული დენადობის ზღვრის ტოლი:

$$P = 3\sigma_{\text{F}}$$

მაშასადამე, ერთი კბილის ფორმირებისათვის საჭირო ძალა განისაზღვრება ფორმულით:

$$P_1 = pF_1$$

სადაც  $P$  – კუთრი წნევა, კგ/მმ<sup>2</sup>

$F_1$  – ერთი კბილა – სექტორის ფართი, მმ<sup>2</sup>; რომელიც მაქსიმალურია პროცესის დასასრულს. იგი ტოლია კბილის სიგრძისა და სიგანის ნამრავლისა.

კბილის მთლიანი საკონტაქტო ფართი იქნება

$$F = \pi D \cdot b$$

სადაც  $D$  – კბილანის გარე დიამეტრი, მმ.

$b$  – კბილის სიგრძე (ანუ კბილანის სისქე), მმ.

კბილანის რადიალური ფორმირებისათვის მთლიანი მაღეფორმირებელი ძალა იქნება:

$$P = pF$$

პუანსონის ძალამ უნდა გადალახოს რადიალურად მოქმედი ძალის გერტიკალური მდგენელი და ხახუნის ძალა, რომელიც აღიძვრება მაღეფორმირებელ ინსტრუმენტსა და ლითონს შორის.

ამრიგად, ჩვენს მიერ შემოთავაზებული მეთოდით კბილანის მისაღებად საჭირო ძალა, რომელიც უნდა განახორციელოს მრუდმხარა წნევის პუანსონმა იქნება

$$P_{\text{ყები}} = Psina + P \cdot \mu = P(sina + \mu)$$

სადაც:  $P$  – კბილანის რადიალური მიმართულებით მაღეფორმირებული ძალა;

$a$  – მატრიცის მუშა ზედაპირის დახრის კუთხე ( $4^0, 6^1$ );

$\mu$  – ხახუნის კოეფიციენტი მაღეფორმირებულ

ინსტრუმენტსა და ლითონს შორის (ვიღებთ 0,2).

ზემოაღნიშნული თეორიული მოსაზრების დასამტკიცებლად, რომ ჩვენი მეთოდის შემთხვევაში კბილანის პლასტიკური ფორმირებისათვის ნაკლები ძალაა საჭირო ვიდრე გამოწევით მიღებისას. მოგვავს ჩვენს მიერ მიღებული ტყვიის კბილანისათვის მოწყობილობის საჭირო ძალის ანგარიში, როგორც ჩვენი მეთოდის ისე გამოწევის მეთოდის შემთხვევაში:

1) კბილანის რადიალური ფორმირებისათვის საჭირო ძალა იანგარიშება შემდეგი ფორმულის მიხედვით:

$$P = p \cdot F$$

სადაც  $P$  – ხვედრითი წნევა დახურული შტამპის პირობებში, რომელიც თანახმად მონაცემისა აიღება მასალის სამჯერადი დენადობის ზღვრის ტოლი, ტყვიისათვის იგი ტოლია  $6\text{kg/mm}^2$ ;

$F$  – კბილანის, როგორც ცილინდრის გვერდპირეულის ფართი  $F = \pi D \cdot b$ ;

$D$  – კბილანის გარე დიამეტრი ( $D = 66\text{mm}$ );  $b$  – კბილის სიგრძე ანუ მიღებული კბილანის სისქე;  $b = 25\text{mm}$ .

ამრიგად კბილანების რადიალური ფორმირებისათვის საჭირო ძალა იქნება:

$$P = p \cdot F = 3\sigma_{\text{ყ}} \cdot \pi D \cdot b = 3 \cdot 2 \cdot 3,14 \cdot 66 \cdot 25 = 31086 \text{kg}=31\text{t}\text{on}$$

როგორც ზემოდ ავღნიშნეთ პუანსონზე მიყენებულმა ძალამ (ე.ი. მოწყობილობამ) უნდა გადალახოს მაღეფორმირებულ რადიალური ძალის ვერტიკალური მდგენელი  $Psina$  და ხახუნის წინააღმდეგობის ძალა ინსტრუმენტსა და ლითონს შორის –  $P\mu$ .

საბოლოოდ მოცემული ტყვიის კბილანისათვის მოწყობილობის საჭირო ძალა იქნება:

$$P_{\text{ყნება}} = P(\sin \alpha + \mu) = 31(0,0721 + 0,2) = 84351 \text{ გგ} = 8,4 \text{ გ}$$

2) გამოწევებით მიღებისას წნების ძალის საანგარიშოდ ვსარგებლობთ ცნობილი ფორმულით

$$P_{\text{ყნება}} = \sigma_{\text{ყ}} \left[ \left( \frac{1}{2 \sin \alpha} + \frac{2}{1 + \cos \alpha} \right) \ell n \frac{F}{f} + \frac{2 \cdot L}{D} + \frac{2 \cdot \ell}{d} \right] \cdot F$$

სადაც:  $\sigma_{\text{ყ}}$  – მასალის დენადობის ზღვარი, ტყვიისათვის  $\sigma_{\text{ყ}} = 2 \text{ გგ}/\text{მმ}^2$ ;

$\alpha$  – მატრიცის კონტეინერის დახრის კუთხე,  $\alpha = 20^\circ$ ;

$F$  – მატრიცის კონტეინერის კვეთის ფართი,  $F = \frac{\pi D^2}{4} = 6358 \text{ მმ}^2$ ;

( $D$  – კონტეინერის დიამეტრი  $D = 90 \text{ მმ}$ );

$f$  – მისაღები კბილანის კვეთის ფართი,  $f = \frac{\pi d^2}{4} = 2826 \text{ მმ}^2$

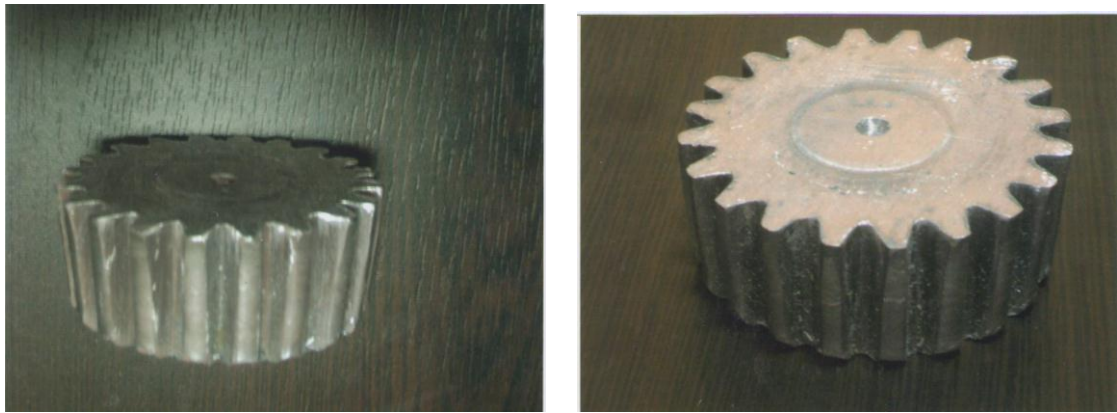
( $d$  – კბილანის საშ. დიამეტრი  $d = 60 \text{ მმ}$ )

$L$  და  $\ell$  – მატრიცის კონტეინერის დამაკალიბრებელი უბნის სიმაღლე. აღნიშნული მონაცემების რიცხვითი მნიშვნელობების ჩასმით მივიღებთ:

$$\begin{aligned} P &= 2 \left[ \left( \frac{1}{2 \sin 15^\circ} + \frac{2}{1 + \cos 15^\circ} \right) \ell n \frac{5024}{2826} + \frac{2 \cdot 50}{80} + \frac{2 \cdot 20}{60} \right] \cdot 5024 = \\ &= 2 \left[ \left( \frac{1}{2 \cdot 0,26} + \frac{2}{1 + 0,97} \right) 0,575 + 1,25 + 0,67 \right] \cdot 5024 = 181101 \text{ გგ} = 18,1 \text{ გ}. \end{aligned}$$

როგორც ვხედავთ კბილანის გამოწევებისათვის საჭირო ყოფილა 18,1 ტონა ხოლო ჩვენ შემთხვევაში იგივე კბილანის მისაღებად საჭიროა 8,4 ტონა.

ამრიგად ჩვენი მეთოდით პროცესის განხორციელება შესაძლებელია შედარებით მცირე სიმძლავრის მრუდმხარა წნებზე, რომლის ცოციას უქნება სათანადო მუშა სვლის სიდიდე. კბილანის მიღება შეიძლება როგორც ცხლად, ისე ცივად, ინსტრუმენტის სათანადო მასალის შერჩევით. მაგალითად ცხლად დამუშავებისას შეიძლება გამოვიყენოთ შემდეგი მარკის ფოლადები: 5XHM, 5XHB, 5XGM და სხვა. ხოლო ცივად დამუშავებისას: X6BФ, X12Ф1, X12 და სხვა.



ნახ. 14. ექსპერიმენტით მიღებული კბილანების ფოტოსურათები:

ა – შეუგსებელი; ბ – ნორმალური

ცხლად დამუშავებისას, ცხადია მატრიცა უნდა იმყოფებოდეს წყლით ინტენსიური გაცივების პირობებში.

კბილანის მისაღები ნამზადები წინასწარ იქნება გაჩარჩული შესაბამისი ზომებით და მათი გახურება მოხდება ინდუქციურ ღუმელში, სადაც ნაკლებ დაჭანგვას ექნება ადგილი.

შესაძლებელია პროცესის ავტომატიზაცია, რომელიც ერთმანეთთან დაკავშირებს ერთი ნამზადის ხურების დროს, გახურებული ნამზადის მატრიცაში ჩადებას და წნების ჩართვა-გამორთვას.

როგორც ცხლად ისე ცივად დამუშავებისას საჭიროა სპეციალური საცხების გამოყენება. ცხლად დამუშავებისას მარტიციდან გამოსული კბილანა ჰაერზე გაცივდება, შემდგომში მექანიკური დამუშავების გასაადგილებლად.

## დასკვნა

1. შესწავლით და გაანალიზებული იქნა ლითონების წნევით დამუშავების არსებული ე.წ. სპეციალიზირებული პროცესები, რომელთა მთავარი ამოცანაა ისეთი კონკრეტული დანიშნულების ნამზადების მიღება, რომლის ფორმა და ზომები მაქსიმალურად მიახლოვბული იქნება მზა ნაკეთობის ფორმასთან და ზომებთან, აგრეთვე ტექნოლოგიური გადასვლების შემცირება და მექანიკური დამუშავების მინიმუმზე დაყვანა.

აღნიშნული ანალიზის საფუზველზე ჩვენს მიერ დამუშავებული და გამოკვლეული იქნა როგორც ახალი, ასევე ზოგი არსებული სპეციალიზირებული პროცესები მათი უფრო ეფექტური გამოყენების მიზნით.

2. დამუშავებულია კვადრატული კვეთის ნაგლინის მიღების ახალი ტექნოლოგიური პროცესი და მისი განხორციელების ხერხი, რომელიც ითვალისწინებს შედარებით დიდი კვეთის მქონე ნამზადის უწყვეტ ჩამოსხმას გლინვის ტემპერეტურამდე და მისგან რამოდენიმე მცირე კვეთის კვადრატული ნამზადების ერთდროულ მიღებას დაწყვილებული გლინვით. აღნიშნული ხერხის დადებითი მხარეა:

ა) გამოყენებულია სხმულის საწყისი ტემპერატურა.

ბ) დიდი კვეთის ნამზადის უწყვეტი ჩამოსხმა უფრო ეკონომიკურია ვიდრე მცირე კვეთის.

გ) მცირე კვეთის ნამზადებიდან უწყვეტი გლინვით წვრილსორტული ლითონპროდუქციის წარმოება მოითხოვს ნაკლებ საგლინავ გადასვლებს და მაშასადამე საგლინავ დგანს.

დ) დაწყვილებული გლინვით მიღებული მცირე კვეთის ნამზადის სტრუქტურა გაცილებით უკეთესია ვიდრე იგივე კვეთის სხმულის.

3. ჩატარებულია დაწყვილებული გლინვის პროცესის ექსპერიმენტალური და თეორიული კვლევა, რამაც საშუალება მოგვცა დაგვედგინა მოცემული მცირე კვეთის კვადრატული ნამზადების დაწყვილებული გლინვისათვის საჭირო უწყვეტად ჩამოსხმული მართკუთხა სხმულის ოპტიმალური ზომები, რომლებიც უზრუნველყოფდა კვადრატულის სრულ შეკრებას და გამორიცხავდა გვერდითი ფხაურის წარმოქმნას.

4. დადგენილი იქნა დაწყვილებული გლინგის პროცესში დეფორმაციის კერის საკონტაქტო ფართის განსაზღვრის გრაფიკული მეთოდი და საანგარიშო ფორმულა, რამაც საშუალება მოგვცა გვეანგარიშა პროცესის ძალური პარამეტრები და შესაბამისად დაწყვილებული გლინგის პროცესში ადმრული ხახუნის ჭარბი ენერგია, რომელიც გამოყენებული იქნა დიაგონალურ სიბრტყეებში ურთიერთდაკავშირებული კვადრატების გლინებიდან გამოსვლისთანავე განცალკევებისათვის.

5. შესრულებულია ხისტ და მოძრავ თვალაკებში ადიდვის ძალური პარამეტრების კვლევა. პირველად დადგენილი იქნა მოძრავ გორგოლაჭებიან თვალაკებში საკონტაქტო და ადიდვის ხვედრითი ძალების საანგარიშო ფორმულები. მოცემულია აღნიშნული ფორმულების კომპიუტერული კვლევა კონკრეტულ მაგალითზე მაქსიმალური შესაძლო გამოჭიმვის კოეფიციენტის სიდიდის დასადგენად. თეორიულად დასაბუთებული იქნა, რომ წნელოვან ნაგლინიდან ( $\Phi 8\text{-}F10\varnothing$ ), სავსებით შესაძლებელია ორი გატარებით გლინულას ( $\Phi 5\text{-}\Phi 6,5$ ) წარმოება გორგოლაჭებიანი მატრიცის გამოყენებით.

6. დამუშავებული და პრაქტიკულად განხორციელებული იქნა ცილინდრული კბილათვების კბილების პლასტიკური ფორმირების ახალი მეთოდი და მის განხორციელებისათვის საჭირო ინსტრუმენტი. განსაზღვრული იქნა კბილანის პლასტიკური ფორმირებისათვის საჭირო ძალის სიდიდე, რომელიც გაცილებით ნაკლებია იგივე ზომის კბილანის დაწესების მეთოდით მიღებასთან შედარებით.

### დისერტაციის ძირითადი შედეგები გამოქვეყნებულია შემდეგ ნაშრომებში:

1. С.Д. Катамадзе, Д.М. Ломсадзе, З.Д. Ломсадзе, С.А. Мебония. Спаренная пропатка квадратных заготовок. Теория и практика металлургии №3-4 (76-77), Днепропетровск-Украина, 2010. Стр. 44-46.
2. Д.М. Ломсадзе, С.Д. Катамадзе. Строительная арматура из амортизированных железнодорожных рельсов. Теория и практика металлургии №1-2, Днепропетровск-Украина, 2009. Стр. 53-54.

3. Д.М. Ломсадзе, З.Д. Ломсадзе, Д. Катамадзе, С.А. Мебония. Исследование очага деформации при спаренной прокатке квадратных заготовок. Теория и практика металлургии №1-2, Днепропетровск-Украина, 2012. Стр. 56-59.
4. ჯ. ლომსაძე, გ. მიქაელიძე, ზ. ლომსაძე, ს. მებონია, ს. ქათამაძე. კვადრატული პროფილის მიღების ხერხი. პატენტი, №P5498, 2012.
5. ს. ქათამაძე. კბილა თვლის კბილების პლასტიკური ფორმირება. მეცნიერება და ტექნოლოგიები, №1-3, 2012. გვ. 78-82.
6. ჯ. ლომსაძე, ზ. ლომსაძე, ს. ქათამაძე, ს. მებონია. პროფილური ნაწარმის გამოსაწევები ინსტრუმენტი. საქპატენტი, სარეგისტრაციო №12068/01.

## Abstract

Dissertation work concerns specialized processes of metal treatment by pressure. One gives treatment and research of new technological processes as well improving of some existing processes and increasing their effectiveness.

In the first chapter one gives analysis of general non-traditional and massive treatment (so called specialized) processes existing currently; their positive and negative aspects.

In the second chapter one gives treatment of new technological process for getting square rolled, as well research and way of implementation.

Nowadays for getting narrow-sort metal-production (as are: fittings, round steel, angles, square, line and et cetera) one uses preparations with transverse cutting 100X100 mm (rolled or chain with continuous casting). For getting the above-mentioned preparations by rolling two shops are necessary: blooming and preparing. Its production is very time-consuming and expensive. During last years getting of preparations by rolling was replaced by more economic way of casting the steel continuously.

For getting narrow-sort rolled it's better to use not 100X100 mm cutting preparations, but small cutting ones, as they demand small handling numbers and correspondingly less rolling adjustments. Casting less cutting (60X60 and 50X50 mm) preparations is non-economic because of low speed. That's why the author suggests getting several small rectangular cutting chains having square summary space, casting of which is acceptable economically. In the process of casting it may be cut in concrete sizes (1,5-20m), which will be downloaded in hot oven step by step, to raise their temperature up to rolling temperature (1100-1150gr/c) and then we can get several small cutting square preparations by paired rolling on duo-reversal adjustment, having specified caliber.

Positive side of the above-mentioned way is: 1) initial temperature of used chain; 2) casting of big cutting preparation us more economic; 3) structure of small cutting preparation got by paired rolling of rectangular chain is better than of the same cutting chain; 4) usage of small cutting preparations can increase production of narrow-sort production; 5) less rolling adjustments are necessary; 6) cost of production is decreased.

One has done experimental and theoretical research of paired rolling process, which gave us opportunity to establish the optimal sizes of rectangular chain, casted continuously, necessary for rolling the given small cutting square preparations. One has also established energy-power parameters of rolling and way of separating paired squares.

In the third chapter one gives research of power parameters of increasing in hard and moving matrix. First one established calculating formulas of contact and increasing density powers in moving rollers. One has given computer research of the mentioned formulas on the concrete example for establishing the magnitude of possible maximal stretching coefficient. It was established that by using the roller matrix it's quite possible to get two rolled ( $\Phi$  5-6,5 mm) from rod rolled ( $\Phi$  8-10 mm).

In the forth chapter one has elaborated and practically implemented new method of plastic forms of cylinder toothed and instruments necessary for its implementation. One has also determined the magnitude necessary for forming toothed, which is less comparing with pressuring the same size toothed.